

УДК 629.7.036.3.001

В.А. КОВАЛЬ, канд. техн. наук,  
 Л.И. МАРТЫНЕНКО, канд. техн. наук,  
 Г.В. ПАВЛЕНКО, канд. техн. наук,  
 В.А. СЕДРИСТЫЙ  
 И.Ю. СТЕПАНОВ

МАТЕМАТИЧЕСКОЕ МОДЕЛИРОВАНИЕ ЭНЕРГЕТИЧЕСКОЙ УСТАНОВКИ Д-18Э-25  
 ПРИ ИССЛЕДОВАНИИ ВОЗМОЖНОСТИ ФОРСИРОВАНИЯ МОЩНОСТИ В СОСТАВЕ

ГТУ/ПУ

Быстрое развитие и совершенствование методов расчета и конструирования основных элементов ГТУ с использованием современной вычислительной техники и САПР потребовало моделирование рабочих процессов установок, особенно приводных ГТД.

Газотурбинная установка Д-18Э-25, создаваемая на базе авиационного ТРДД Д-18Т, может быть использована в передвижных или стационарных автономных энергетических установках, работающих на жидким или газообразном топливе, а также в составе парогазовых энергетических блоков с высоким уровнем утилизации тепла.

Номинальная мощность на валу свободной турбины ГТУ равна 25 МВт при параметрах рабочего процесса  $T_r^* = 1425$  К,  $\bar{J}_r^* = 17,5$ ,  $G_0 = 85,5$  кг/с. Однако в процессе эксплуатации энергетической установки возникает потребность в кратковременном или долговременном увеличении ее мощности. Это достигается либо форсированием приводного ГТД, либо работой ГТУ в системе ПУ с теплоутилизационным контуром одного (двух) давлений (ТУК-1, ТУК-2).

В настоящей работе рассматривается модель ГТД, относящаяся к первому уровню моделирования, при котором характеристики узлов турбокомпрессора представляются нулевым уровнем моделирования.

Расчетная схема приводного ГТД, выполненного по трехвальной схеме, показана на рис. I. Основу математической модели составляет набор независимых переменных и определяющая система уравнений нерасчетного режима (система уравнений невязок) /I,2/.

В качестве независимых переменных выбраны величины, определяющие режимы работы узлов турбокомпрессорной группы, основной и дополнительной камер сгорания. Число независимых переменных в математической модели ГТД определяются по соотношению  $n = 326 + 3$  для включенных двух камерах сгорания и  $n = 326 + 2$  при выключеной дополнительной камере сгорания промежуточного подогрева ( $26$  - число валов газогенератора). В рассматриваемом случае независимые переменные представлены в следующем наборе:

$X_{\text{кид}}, \Pi_{\text{иркид}}, X_{\text{квд}}, \Pi_{\text{ирквд}}, d_{\text{кс}}, T_{\text{твд}}^*, T_{\text{тид}}^*, d_{\text{ксп}}, T_{\text{тс}}^*$ ,  
где  $X = \lg \varphi$  - угловая координата на напорной ветви характеристики при  $\Pi_{\text{ир}} = \text{const}$ .

Соответственно система уравнений невязок в случае моделирования установившихся режимов будет иметь вид:

$$\left\{ \begin{array}{l} \Delta f_1 = B_{\text{еквд}}(1 - \Delta \bar{B}_{\text{пер}} - \Delta \bar{B}_{\text{оклтвд}}) - B_{\text{еквд}}; \\ \Delta f_2 = B_{\text{еквд}}(1 - \Delta \bar{B}_{\text{октвд}} - \Delta \bar{B}_{\text{оклтвд}} - \Delta \bar{B}_{\text{оклтид}}) - B_{\text{твд}}; \\ \Delta f_3 = B_{\text{еквд}}(1 - \Delta \bar{B}_{\text{октвд}} - \Delta \bar{B}_{\text{оклтид}}) - B_{\text{тид}}; \\ \Delta f_4 = B_{\text{еквд}}(1 - \Delta \bar{B}_{\text{октвд}}) - B_{\text{тс}}; \\ \Delta f_5 = B_{\text{еквд}}(-B_{\text{твд}} L_{\text{твд}} \Omega_{\text{мвд}}); \\ \Delta f_6 = B_{\text{екид}} L_{\text{кид}} - B_{\text{тид}} L_{\text{тид}} \Omega_{\text{мид}}; \\ \Delta f_7 = F_c - F_{c\text{расп}}; \\ \Delta f_8 = T_r^* - T_{r\text{задан}}^*; \\ \Delta f_9 = T_{rp}^* - T_{rp\text{задан}}^*. \end{array} \right. \quad (I)$$

Первые четыре уравнения представляют собой запись балансов массовых расходов через каскады компрессора и турбины, следующие

два уравнения выражают балансы мощностей на роторах высокого и низкого давлений, седьмое уравнение отражает неизменность геометрии выходного устройства, а последние два уравнения являются записью условий (программы) регулирования двигателя.

В случае, если изменение режима работы газогенератора задается, например, изменением частоты вращения ротора высокого давления, то условие регулирования принимает вид  $\Delta f_8 = n_{8g} - n_{8g\text{задан.}}$

При расчете переходных режимов ГТУ условия балансов мощностей на роторах низкого и высокого давлений не соблюдаются и невязки  $\Delta f_5$  и  $\Delta f_6$  записываются в следующем виде:

$$\Delta f_5 = n_{8g} - n_{8g\text{ задан.}},$$

$$\Delta f_6 = n_{4g} - n_{4g\text{ задан.}}$$

Значения  $n_{8g\text{задан.}}$  и  $n_{4g\text{задан.}}$  на каждом временном интервале находятся решением дифференциальных уравнений разгона (торможения) роторов высокого и низкого давлений при заданном изменении температуры газа на выходе из камеры сгорания или заданном изменении подачи топлива в камеру сгорания.

При решении системы уравнений (I) основная задача связана с разработкой алгоритма вычисления невязок  $\Delta f_i$  и нормы

$$\omega_0 = \frac{1}{n} \sqrt{\sum_{i=1}^n \Delta y_i^2},$$

которая является критерием сходимости (при  $\omega_0 \leq \varepsilon$  задача считается решенной). Величины  $\Delta y_i$  соответствуют масштабированным невязкам

$$\Delta y_1 = \frac{\Delta f_1}{C_{8kg}(1 - \sum \Delta C_i)}; \Delta y_5 = \frac{\Delta f_5}{C_{8kg} L_{kg}}; \Delta y_8 = \frac{\Delta f_8}{T_P^*} \quad \text{и т.д.}$$

Если невязки достаточно малы, то систему нелинейных уравнений

(I) можно представить в виде

$$\left\{ \begin{array}{l} \frac{\partial f_1}{\partial x_1} \Delta x_1 + \frac{\partial f_1}{\partial x_2} \Delta x_2 + \cdots + \frac{\partial f_1}{\partial x_n} \Delta x_n = \Delta f_1 \\ \frac{\partial f_2}{\partial x_1} \Delta x_1 + \frac{\partial f_2}{\partial x_2} \Delta x_2 + \cdots + \frac{\partial f_2}{\partial x_n} \Delta x_n = \Delta f_2 \\ \cdots \cdots \cdots \cdots \cdots \cdots \cdots \cdots \cdots \\ \frac{\partial f_n}{\partial x_1} \Delta x_1 + \frac{\partial f_n}{\partial x_2} \Delta x_2 + \cdots + \frac{\partial f_n}{\partial x_n} \Delta x_n = \Delta f_n, \end{array} \right. \quad (2)$$

где независимые переменные  $x_1, x_2, \dots, x_n$  соответствуют  $X_{кни}, X_{прил}, \dots, X_{тт}$ .

При решении системы уравнений (2) находятся значения  $\Delta x_1, \Delta x_2, \dots, \Delta x_n$ , которые определяют шаги к правильному решению.

$$\left\{ \begin{array}{l} x_1(i) = x_1(i-1) - \Delta x_1(i) ; \\ x_2(i) = x_2(i-1) - \Delta x_2(i) ; \\ \cdots \cdots \cdots \cdots \cdots \\ x_n(i) = x_n(i-1) - \Delta x_n(i) , \end{array} \right.$$

где нижний индекс в скобках определяет номер приближения.

Для решения системы уравнений (2) необходимо иметь матрицу коэффициентов при неизвестных и массив правых частей уравнений

$$\left| \begin{array}{c} \frac{\partial f_1}{\partial x_1}, \frac{\partial f_1}{\partial x_2}, \dots, \frac{\partial f_1}{\partial x_n} \\ \frac{\partial f_2}{\partial x_1}, \frac{\partial f_2}{\partial x_2}, \dots, \frac{\partial f_2}{\partial x_n} \\ \cdots \cdots \cdots \cdots \cdots \\ \frac{\partial f_n}{\partial x_1}, \frac{\partial f_n}{\partial x_2}, \dots, \frac{\partial f_n}{\partial x_n} \end{array} \right| \text{ и } \left| \begin{array}{c} \Delta f_1 \\ \Delta f_2 \\ \cdots \\ \Delta f_n \end{array} \right|$$

При реализации настоящей математической модели ГТУ на ПЭВМ начальная минимизация нормы осуществляется методом прямого поиска

в предположении, что рельеф функции цели  $\mathcal{N}_0 = f(\vec{Y_i})$  не овражный, а спокойный. В процессе поиска меняется его шаг и, после удовлетворения условия  $\Delta_0 \leq \varepsilon_1$ , используется модифицированный метод Ньютона. Процесс итераций заканчивается при условии  $\mathcal{N}_0 \leq \varepsilon_2$ .

Математические модели нулевого уровня основных элементов проточной части ГТУ описаны в /2/. При реализации настоящей математической модели ГТУ использована табличная реальная модель КПД и КВД двигателя Д-18Т.

Расчетные исследования возможностей форсирования энергоустановки Д-18Э-25 в составе ГЧУ проводились по следующей схеме:

1. Увеличение внешней мощности установки за счет подачи топлива в основную камеру сгорания (дополнительная камера сгорания отсутствует);

2. Увеличение мощности свободной турбины приводного двигателя путем подачи топлива в дополнительную камеру сгорания при условии  $C_{тоск} = \text{const}$ .

В дальнейшем эти варианты форсирования поименованы I и 2. При расчете варианта I начальная точка соответствует номинальному режиму ГТУ с ее КПД, равном 35%. Начальная точка варианта 2 получена при значениях  $T_k^* = 17,5$ ,  $T_g^* = 1425$  К,  $G_0 = 85,5$  кг/с,  $T_{гксп}^* = 1425$  К, т.е. подогрев газа в дополнительной камере сгорания осуществляется до значения температуры основной камеры. Это приводит к увеличению внешней мощности ГТУ до уровня 32,5 МВт. Программа дросселирования установки задается величиной снижения температуры в дополнительной камере сгорания в диапазоне  $T_{гксп}^* = 1425 \dots 1367$  К. Последнее значение примерно соответствует номинальной мощности 25 МВт, вырабатываемой ГТУ при ее штатном исполнении.

Результаты расчетного исследования ГТУ с помощью математической модели представлены на рис. 2. Здесь показано изменение мощности

ГТУ и ее КПД в зависимости от часового расхода топлива

$\sigma_T = \sigma_{t\text{акт}} + \sigma_{t\text{кил}}$ . Видно, что форсирование энергоустановки за счет промежуточного подогрева газа между турбиной компрессора и свободной турбиной сопровождается значительным падением КПД ГТУ до уровня 28,5% и соответствующим увеличением удельного расхода топлива. Вычисления также показали, что эксплуатация ГТУ-2 на режимах повышенной мощности требует регулирования КНД, поскольку запас его устойчивой работы  $\Delta K_J$  снижается до 8%. При этом запасы устойчивости КВД достаточно велики и составляют 25...30%.

Указанные обстоятельства делают малопригодным исполнение ГТУ Д-18Э-25 с дополнительной камерой сгорания с целью форсирования.

Другим способом повышения эффективности энергетической установки является использование бинарного парогазового цикла, т.е. работы ГТУ в составе ПУ с ТУК-1 или ТУК-2. Утилизация тепла отработанных газов позволяет в ТУК получить перегретый пар (П), который расширяясь в паровой турбине вырабатывает дополнительную мощность на ее валу.

Расчетные схемы ТУК-1 или ТУК-2 здесь не приводятся, так как они достаточно подробно описаны в /3,4/. В рамках решения поставленной задачи были разработаны алгоритмы и программы расчета парогазовых ТУК одного и двух давлений и выполнены расчетные исследования работы ГТУ Д-18Э-25 в системе ПУ. Поскольку уровень рациональных температур перегретого пара в котлах-utiлизаторах

$t_{pp} = 470...510^{\circ}\text{C}$  /3/ то рассматривается схема ГТУ без промежуточного перегрева газа. При расчете ПУ режим работы ГТУ - номинальный. Этому режиму соответствуют параметры на выходе из двигателя  $T_e^* = 772 \text{ К}$  и  $G_r = 87 \text{ кг/с.}$

В результате расчета ТУК-1 при  $P_{пп} = 2,6$  МПа,  $P_{конд} = 0,008$  МПа и  $t_{пп} = 474$  °С получена суммарная мощность ПУ, равная 34,1 МВт с КПД 47,6 %. С целью выбора давления перегретого (острого) пара в ТУК-1 была проведена параметрическое исследование влияние величины  $P_{пп}$  на суммарную мощность ПУ и ее КПД. Результаты этого расчета показаны на рис. 3. Видно, что оптимальная величина  $P_{пп} = 1\dots3$  МПа.

Возможности ПУ с ТУК двух давлений выше. Расчетные исследования показали, что при  $P_{пп64} = 6\dots10$  МПа и  $P_{ппнз} = 0,4\dots0,8$  МПа мощность энергоустановки увеличивается до уровня 35,8\dots37,6 МВт, а ее КПД - 48,9\dots52,4 %. В указанной области значений давления перегретого пара контуров высокого и низкого давлений ТУК-2 характер изменения  $\omega_{пп}$  и КПД - монотонный, т.е. без оптимума.

Таким образом, проведенные с помощью разработанной математической модели исследования ГТУ Д-183-25 позволили выявить ее эксплуатационные возможности при различных способах форсирования мощности.

#### СПИСОК ЛИТЕРАТУРЫ

1. Дружинин Л.Н., Швец Л.И., Лагшин А.И. Математическое моделирование ГТД на современных ЭВМ при исследовании параметров и характеристик авиационных двигателей. Москва, Труды ЦИАМ, № 832, 1979 г.
2. Павленко Г.В. Математическое моделирование авиационных ГТД при исследовании их эксплуатационных характеристик.: Учебн. пособие.- Харьков: Харьк. авиац. ин-т. 1986, 123 с.

3. Райе. Бинарный цикл газовая турбина с промежуточным подогревом – паровая турбина. Часть I. Тр. американского общества инженеров-механиков. Энергетические машины и установки, "I", 1980, с. 39–42.

4. Боллан. Сравнительная оценка вариантов усовершенствованных комбинированных циклов. Тр. американского общества инженеров-механиков. Современное машиностроение "3", 1991, с. 74...84.

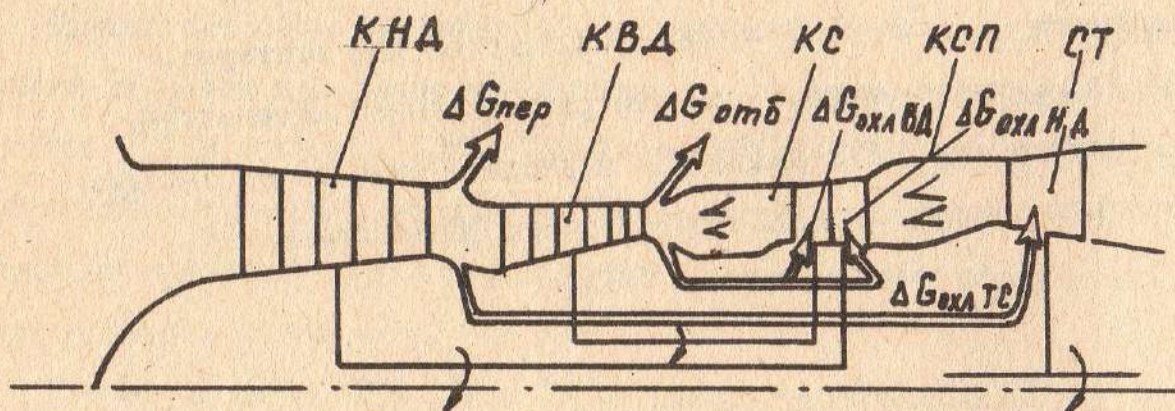


Рис. I. Расчетная схема приводного ГТД ГПУ

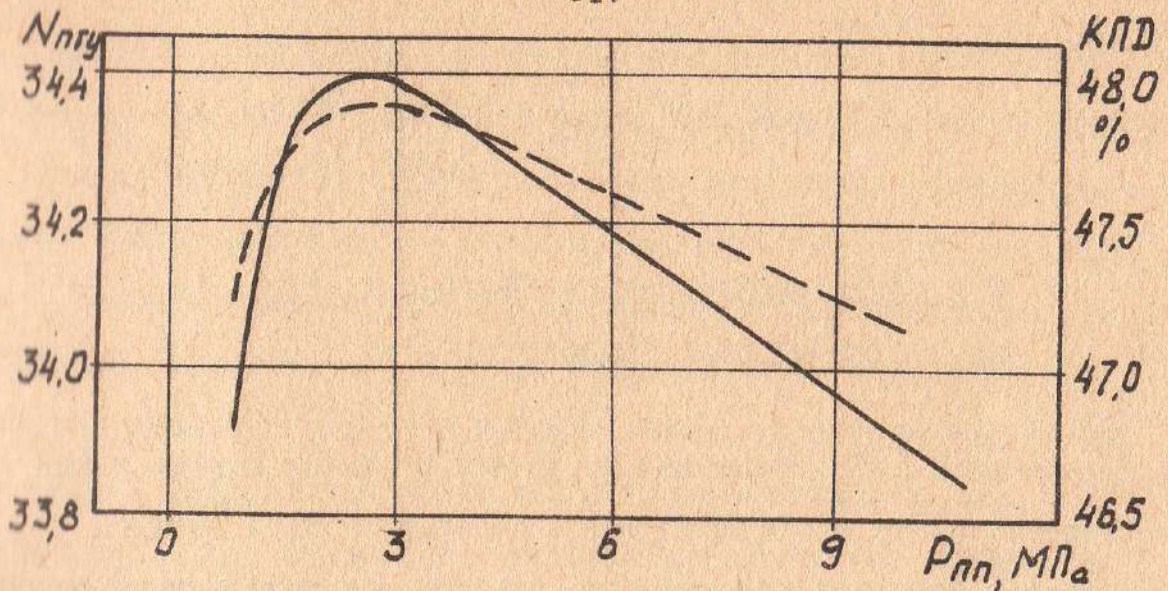
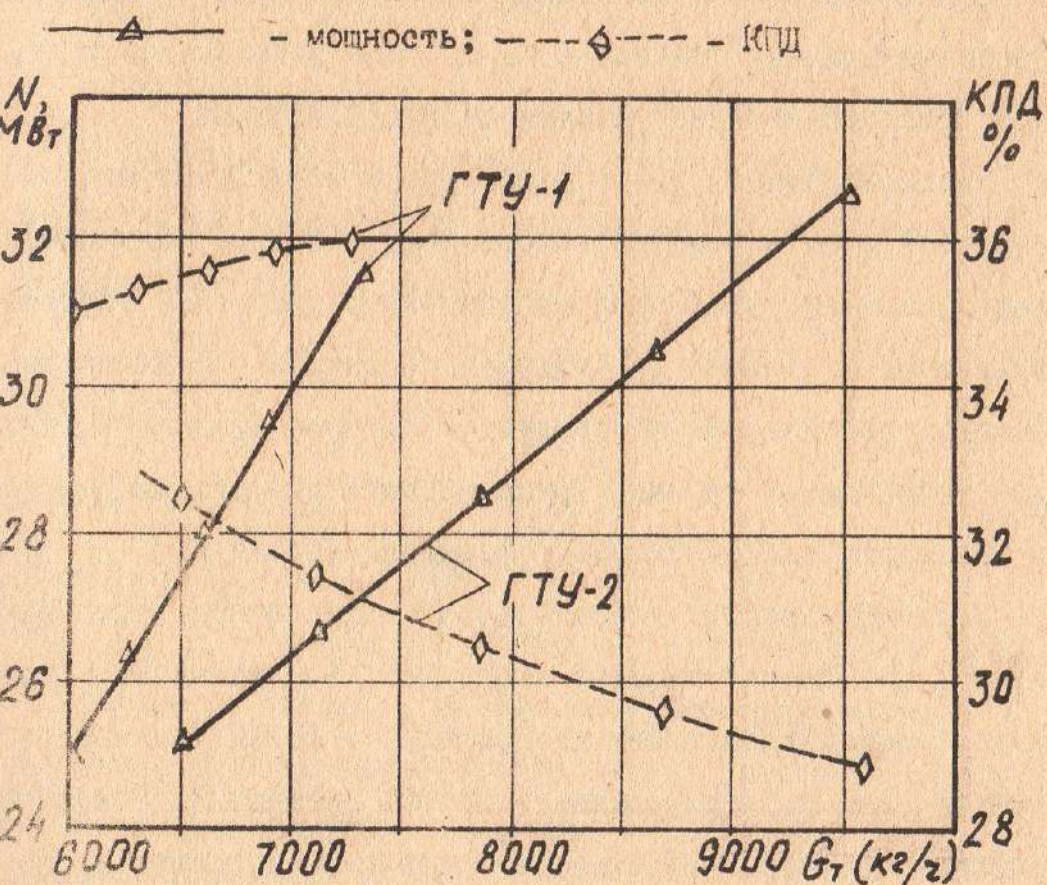


Рис. 2. Характеристики ГТУ при различных способах форсирования мощности



Ис. 3. Изменение давления перегретого пара ТУК одного давления на мощность и КПД

— Мощность; - - - КПД